

تعیین ضریب شدت تنش ترک‌های نیم بیضوی در مخزن استوانه‌ای جدار ضخیم با استفاده از تابع وزنی حاصل از تابع

جابجایی صفحه ترک

عباس راستگو^۱، کامران اژدری^۲، مهدی احمدی^۳

چکیده

روش تابع وزنی به عنوان یک روش قوی، امروزه برای تخمین ضریب شدت تنش استفاده می‌شود. در این روش، در صورتی که حل کامل مساله ترک (جابجایی صفحه ترک و ضریب شدت تنش) در یک بارگذاری شناخته شده باشد، با استفاده از آن می‌توان ضریب شدت تنش را در هر بارگذاری دیگر به دست آورد. با توجه به پیجیدگی به دست آوردن تابع وزنی، در ابتدا تابع وزنی را بر مبنای تابع جابجایی صفحه ترک برای یک مخزن با وجود دو ترک سرتاسری به دست آورده و در ادامه تابعی بر حسب هندسه مخزن و ترک برای تبدیل ضریب شدت تنش حاصل ارائه شده است. در این مقاله، بر مبنای تخمین تابع جابجایی ترک با استفاده از مدل سازی در نرم افزار Ansys9 تابع وزنی در یک هندسه خاص مخزن به دست آورده شده است؛ سپس با استفاده از تابع وزنی حاصل ضریب شدت تنش مخزن ذکر شده به دست آمده و با نتایج موجود مقایسه شده است؛ که این مقایسه بیانگر دقیق‌ترین روش است.

کلمات کلیدی

مخزن جدار ضخیم، ضریب شدت تنش، تابع جابجایی، تابع وزنی، ترک سرتاسری، ترک نیم بیضوی

The Determination of Coefficient of Stress Intensity Factor for Semi-Elliptical Crack in Thick Wall Vessel by Using the Weight Function of Crack Face Displacement Function

A. Rastgo, K. Azhdari, M. Ahmadi

ABSTRACT

The stress intensity factor (SIF) of an internal surface straight or curve fronted crack (semi-elliptical) of an internally pressurized thick cylinder at its deepest point is an essential parameter for calculation of fatigue life and crack behavior prediction. The weight function method is a widespread method for SIF determination in fracture mechanics. It was shown that; if for one loading system we have a known complete solution for a crack problem (crack face displacement & SIF) then for any other loading system the SIF will be solved directly. In this paper, a new method using FEM based on the crack face displacement applied to evaluate a weight function to a specific geometry. Comparison of the result with other approved data shows this method is efficient.

KEYWORDS

Stress intensity factor, crack face displacement, semi-elliptical crack and weight function

دانشیار دانشکده مکانیک، دانشگاه تهران: arastgo@ut.ac.ir

^۱کارشناسی ارشد مکانیک، دانشگاه تهران

^۲کارشناسی ارشد مکانیک، دانشگاه صنعتی اصفهان

در ادامه، یکتابع عمومی بر حسب هندسه مخزن و ترک برای تبدیل ضریب شدت تنش به دست آمده از تابع وزنی به ضریب شدت تنش مربوط به داخلی ترین نقطه یک ترک نیم بیضوی با هندسه معلوم ارائه شده است. در انتها، نتایج به دست آمده از روش فوق با دیگر نتایج موجود مقایسه و صحت روش استفاده شده نشان داده شده است.

۲- تئوری

در صورتی که ضریب شدت تنش مد I $(a)_{I_r} K_I$ و میدان جابجایی $(x, a) U_I$ برای مخزن بارگذاری شده (که تحت عنوان حالت مرجع شناخته می‌شود) معین باشد تابع وزنی مربوط به مد I به صورت زیر تعیین می‌شود [۳]:

$$h_I(x, a) = \frac{E'}{K_{I_r}(a)} \cdot \frac{\partial U_{I_r}(x, a)}{\partial a} \quad (1)$$

در معادله بالا $E' = E/(1 - v^2)$ در حالت کرشم صفحه‌ای، E مدول الاستیسیته و v ضریب پوآسون است.

تابع وزنی عنوان شده فقط تابع هندسه قطعه و ترک تحت بررسی و مستقل از بارگذاری است. همان‌گونه که عنوان شد در صورتی که تابع وزنی به یک قطعه ترک خورده معین مربوط باشد مستقیماً می‌توان با استفاده از آن، ضریب شدت تنش ناشی از هر نیروی سطحی و بدنه‌ایی را تعیین کرد. برای تعیین تابع وزنی معادله (۱) همان‌گونه که ذکر شد از یک بارگذاری مرجع باستی استفاده شود. یک حالت ساده، بارگذاری یکنواخت فشاری بر روی صفحات ترک است که چنین بارگذاری در این مقاله انتخاب شده است. مطلوب در این مقاله، تعیین ضریب شدت تنش است. در صورتی که تابع وزنی برای یک هندسه مورد نظر تعیین شود، ضریب شدت تنش برای هر سیستم بارگذاری و هندسه بیان شده با استفاده از فرمول (۲) قابل محاسبه است [۳].

$$K_I = \int_0^a \sigma(x) \cdot h(x, a) dx \quad (2)$$

(x)۵ مؤلفه تنش مماسی عمود بر راستای ترک در اثر بارگذاری اعمالی، با حذف کردن ترک از قطعه است. این مؤلفه تنش در مخزن‌های شامل مؤلفه تنش مماسی ناشی از فشار داخلی و فشار داخلی اعمال شده بر صفحات ترک می‌باشد.

تعیین تابع وزنی برای قطعات ترک خورده گوناگون با روش‌های تحلیلی مشکل است؛ بنابراین استفاده از روش‌های چون المان محدود و المان مرزی برای تعیین تابع وزنی رواج یافته است. مبنای این مقاله براساس تخمین میدان جابجایی $(x, a) U_I$ با استفاده از نتایج به دست آمده از المان

در بسیاری از قطعات در حین پروسه تولید یا در طول کارکرد ممکن است که در سطح قطعه ترک یا معایی ایجاد شود. اعمال بارگذاری سیکلی سبب گسترش ترکهای ذکر شده یا جوانه زنی ترک در محل معایب موجود خواهد شد.

اکثر ترکهای ایجاد شده ناشی از بارگذاری خستگی، شکل نیم بیضوی دارند که به طور معمول دارای نسبت طول به عمق ۰.۴ تا ۰.۶ می‌باشند [۱]. ترکهای اولیه ایجاد شده در لوله‌های توب در صورت عدم معایب سطحی اولیه ناشی از شک حرارتی ناشی از انفجار ایجاد شده در لوله توب می‌باشد. گرادیان ناشی از انفجار به حدی است که پس از چند سیکل کاری، ترکهایی را در جدار داخلی لوله ایجاد می‌کند که به عنوان ترکهای اولیه خستگی شروع به رشد می‌کند.

ضریب شدت تنش به عنوان یک پارامتر پایه‌ای در مکانیک شکست خطی در بررسی شکست قطعات استفاده می‌شود. تحقیقات و بررسی‌های گوناگونی برای تعیین مقدار ضریب شدت تنش به طرق تحلیلی، عددی و تجربی صورت گرفته است. امروزه از روش‌های متفاوتی برای به دست آوردن مقدار ضریب شدت تنش استفاده می‌شود. استفاده از FEM در تعیین مقدار ضریب شدت تنش به طور گسترده رواج یافته است؛ ولیکن نیاز به تکرار پروسه حل برای یک ترک خاص در حل هر میدان بارگذاری اعمالی از معایب معمول این روش می‌باشد. برخلاف روش FEM، استفاده از روش تابع وزنی جزء روش‌هایی که می‌توان با استفاده از آن با دانستن تابع وزنی مربوط به هر هندسه در هر میدان بارگذاری اعمالی مقدار ضریب شدت تنش را به دست آورد [۲].

روش تابع وزنی را به عنوان یک روش قوی و دقیق برای اولین بار Bueckner (۱۹۷۰) برای تعیین ضرایب شدت تنش ناشی از اعمال بارگذاری‌های مکانیکی ارائه داده است.

تابع وزنی به عنوان یک تابع عمومی فقط تابعی از هندسه ترک و قطعه و مستقل از بارگذاری است. در صورتی که تابع وزنی برای یک حالت ساده بارگذاری به دست آید، از آن می‌توان برای محاسبه ضریب شدت تنش ناشی از هر میدان بارگذاری در همان هندسه استفاده کرد. با توجه به گستردگی کاربرد مخزن‌های جدار ضخیم در صنایع مختلف بخصوص لوله‌های استفاده شده در تسلیحات نظامی در این مقاله به بررسی چگونگی به دست آوردن تابع وزنی برای یک استوانه جدار ضخیم پرداخته شده است. روش فوق برای به دست آوردن تابع وزنی در یک هندسه خاص مخزن برای ترکهای سرتاسری استفاده و تابع وزنی مورد نظر به دست آمده است.

بر حسب طول ترک a و L بعد مشخصهای در قطعه مورد بررسی می باشد (در مخزن های استوانه ایی بعد مشخصه σ است). یک تقریب مناسب برای بیان معادله جابجایی به صورت یک سری قابل بیان است که جمله اول آن به صورت (4) می باشد. جمله های دیگر این سری به صورتی است که مقادیر آنها با نزدیک شدن به نوک ترک به سمت صفر می کند. سری ذکر شده به صورت معادله (4) نمایش داده می شود.

$$u(x, a) = \sum_{n=0}^{\infty} C_n(a) \frac{1}{2} (a-x)^{\frac{1}{2+n}} \quad (4)$$

[۲] Achenbach برای به دست آوردن معادله جابجایی از دو جمله اول این سری برای به دست آوردن تابع جابجایی مورد نظر به صورت زیر استفاده کردند:

$$u(x, a) = c_1 \left(\frac{a}{t}\right) a^{\frac{1}{2}} (a-x)^{\frac{1}{2}} + c_2 \left(\frac{a}{t}\right) a^{\frac{1}{2}} (a-x)^{\frac{3}{2}} \quad (5)$$

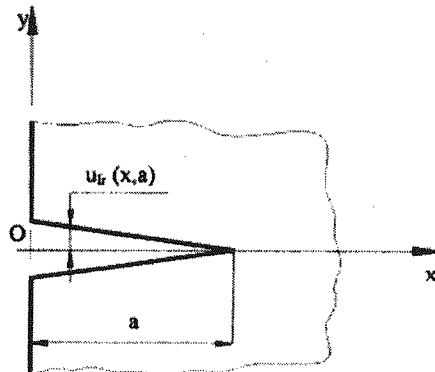
خطای ناشی از حذف بقیه جملات بر روی مقادیر به دست آمده از تابع (5) ناچیز است. این در حالی است که مقدار این خطای بر روی مقدار ضریب شدت تنش به دست آمده با استفاده از این تابع جابجایی کمتر از خطای ایجاد شده بر روی مقدار جابجایی می باشد [۷].

با استفاده از فرم معادله جابجایی که Achenbach ارائه کرده است و مقادیر به دست آمده از جابجایی نقاط برای هندسه مخزن و طول ترکهای مختلف انتخاب شده می توان معادلات جابجایی مورد نیاز را به دست آورد. هندسه و شرایط کاری انتخاب شده در این مقاله برمبنای هندسه مورد استفاده در ساخت لوله های توب ۱۵۵mm استوار است. مقادیر استفاده شده به صورت $t = 81.5mm$, $R_o/R_i = 2.05$, $P = 330MPa$ و فشار کاری

حل صورت گرفته تنها برمبنای اعداد بیان شده در بالا استوار است. ذکر این نکته لازم است که روش استفاده شده یک روش کلی بوده و برای هر هندسه دیگر قابل تطبیق است.

با بررسی ضرایب شدت تنش ناشی از ترکهای داخلی ایجاد شده در مخزن داخلی استوانه جدار ضخیم می توان دریافت که خطرناک ترین حالت تعداد ترکها در جدار داخلی وجود دو ترک متقارن سرتاسری در جدار داخلی این گونه از مخازن است [۸], [۹]. با توجه به فرض وجود دو ترک سرتاسری متقارن داخلی، مدل سازی یک چهارم مخزن در نرم افزار مورد استفاده Ansys9 کافی می باشد. مدل سازی در حالت بارگذاری مرجع با فرض تنش صفحه ای و استفاده از المان plane82 و المان گذاری سینکولار در نوک ترک ایجاد

محدود استوار است. برای تعیین تابع وزنی معادله (1) علاوه بر تعیین معادله جابجایی $U_{\text{f}}(x, a)$ مربوط به بارگذاری مرجع به دانستن مقدار K_{f} در این هندسه نیز نیاز است. در شکل (1) چگونگی قرار گیری محور مختصات در یک ترک داخلی و جابجایی عنوان شده نشان داده شده است.



شکل (1) : قرار گیری محور مختصات و جابجایی در طول ترک

[۳] Achenbach و [۴] Fett توابعی برای تخمین میدان جابجایی صفحات ترک در هندسه های مختلف ورق ها و پوسته ها ارائه کردند.

[۵] Petroski یک تابع تقریبی برای تخمین مقدار $\partial u(x, a) / \partial a$ برای تعیین تابع وزنی مربوط به ترکهای گوشه ای قرار گرفته در صفحات ارائه کرد. توزیع این نکته لازم است که هنوز یک تابع عمومی برای جابجایی صفحات ترک ارائه نشده است. تابع وزنی ارائه شده در این مقاله بر مبنای تعیین میدان جابجایی $U_{\text{f}}(x, a)$ و استفاده از این میدان جابجایی در تعیین مقدار K_{f} در حالت بارگذاری مرجع استوار است. میدان جابجایی مورد نیاز با استفاده از روش جاسازی منحنی بر روی نتایج حاصل از المان محدود به دست آمده است. در نهایت، با استفاده از تابع جابجایی حاصل و به دست آوردن K_{f} ، تابع وزنی مربوطه به دست آمده است.

۳- تعیین جابجایی صفحه ترک

برای تعیین تابع وزنی معادله (2) ، لازم است تابع جابجایی صفحه ترک تعیین شود. مسأله اصلی، تعیین تابعی است که بر روی مقادیر جابجایی به دست آمده از المان محدود جاسازی شود. برای بارگذاری مدل I ، جابجایی در نزدیک نوک ترک به صورت زیر قابل بیان است.

$$u(x, a) = \frac{4K}{E'} \left(\frac{a-x}{2\pi} \right)^{0.5} \quad (2)$$

مقادیر ضریب شدت تنش K به صورت $K = \sigma \sqrt{\pi a} F(a/L)$ قابل بیان است. F یک تابع بدون بعد

با استفاده از روش جاسازی منحنی بر روی نتایج و فرم کلی معادله (۶) توابع جابجایی مربوط به هر طول نسبی ترک در هنگام اعمال بارگذاری مرجع به دست آمده است. مقادیر C_1 و C_2 مربوط به تابع جابجایی هر کدام از طول ترکهای نسبی انتخاب شده در جدول (۱) نشان داده شده است. خطای ناشی از جاسازی کردن فرم کلی معادله (۵) بر روی نتایج موجود به طور معمول کمتر از ۱٪ است.

جدول (۱): مقادیر C_1 و C_2 بر حسب مقدار a/t در مخزن مورد بررسی در بارگذاری مرجع

$a/t \%$	$C_1(10^{-5})$	$C_2(10^{-6})$
0.15	1.47	-0.634
0.25	1.50	-1.01
0.5	1.50	-1.08
0.75	1.49	-1.09
1	1.49	-1.11
2	1.49	-1.16
4	1.49	-1.28
6	1.49	-1.34
8	1.50	-1.44
10	1.52	-1.52
15	1.59	-1.65
20	1.67	-1.70
30	1.90	-1.42
40	2.18	-0.543
50	2.54	1.13
60	2.98	3.78
70	3.53	7.48
80	4.27	11.8

۴- تعیین ضریب شدت تنش در حالت بارگذاری

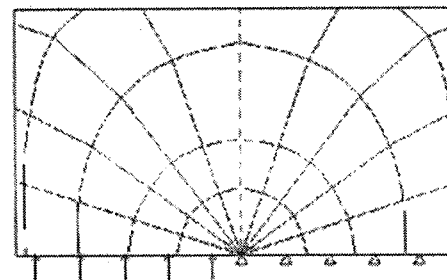
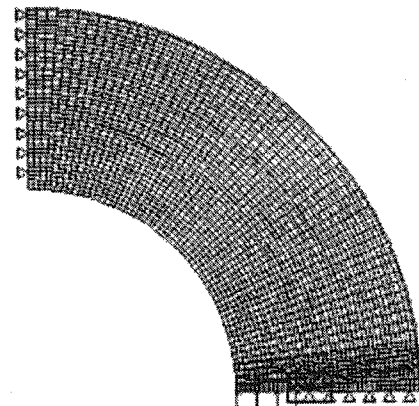
مرجع

از روش ارائه شده در زیر برای به دست آوردن ضریب شدت تنش ناشی از بارگذاری مرجع در طول نسبی ترکهای مختلف استفاده شده است. با قراردادن معادله (۱) در معادله (۲) خواهیم داشت:

$$K_I = \frac{E'}{K_{Ic}} \int_0^a \sigma(x) \frac{\partial u_{Ic}(x, a)}{\partial a} dx \quad (6)$$

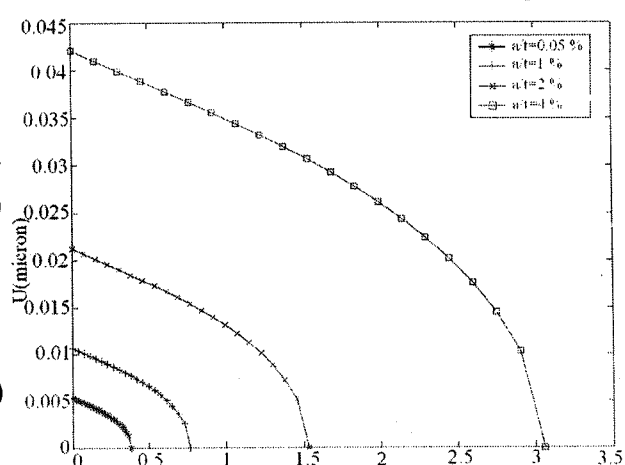
با توجه به اینکه در حالت بارگذاری مرجع مقدار $K_{Ic} = K_I$ (خود سازگاری) و قراردهی مقدار بارگذاری مرجع $\sigma(x) = 1Mpa$ در معادله (۶) مقدار ضریب شدت تنش در حالت بارگذاری مرجع با استفاده از تابع جابجایی به صورت معادله (۷) بیان می شود:

شده است. شکل (۲) مدل ایجاد شده در نرم افزار و بارگذاری مرجع را نشان می دهد:



شکل (۲): مدل المان محدود در بارگذاری مرجع فشاری $\sigma(x) = 1 Mpa$ بر روی صفحه ترک در $a/t = 0.4$

در این حالت، مرجع مختصات در نظر گرفته شده همانند شکل (۱) در دهانه ترک قرار داده شده است. با انجام مدل سازی، مقطع مخزن بیان شده و اعمال بار فشاری مرجع جابجایی در نسبت طول ترکهای مختلف به دست آورده شده است. نسبت طول ترکهای استفاده شده در جدول (۱) نشان داده شده است. نتایج جابجایی ایجاد شده بر روی صفحه ترک در تعدادی از نسبت طول ترکهای مختلف در شکل (۳) نشان داده شده است:



شکل (۳): جابجایی صفحه ترک ناشی از بارگذاری مرجع در طول نسبی ترکهای مختلف

یک از طول ترکهای نسبی استفاده شده، بیان شده است. با توجه به اینکه مقادیر E، F و G در این قسمت فقط تابعی از طول ترک هستند. می‌توان تابعی بر حسب طول نسبی ترک از آنها گذرانید. با استفاده از روش جاسازی منحنی برروی نتایج توابع به دست آمده در این حالت به صورت زیر قابل نمایش هستند. مقادیر E، F و G را می‌توان به صورت یک تابع دو ضابطه‌ای نشان داد. در جدول (۳) ضرایب فوق مربوط به هر طول نسبی ترک نشان داده شده است:

جدول (۳): ضرایب E، F و G تابع وزنی در طول ترکهای مختلف

a/t %	E(1 ⁻³)	F(1 ⁻³)	G(1 ⁻³)
0.1	5.29	6.31	0.34
0.2	5.85	7.28	0.477
0.5	9.09	11.6	0.835
0.75	11.0	14.2	1.05
1	12.7	16.4	1.22
2	17.7	23.2	1.082
4	23.8	33	3.08
6	29.2	40.6	3.78
8	32.3	47.5	5.06
10	37.1	53.8	5.55
15	46.2	68.6	7.53
20	54.8	83.5	9.56
30	84.6	113	9.58
40	130	145	5.24
50	196	181	-5.04
60	287	219	-22.7
70	405	262	-47.4
80	542	318	-74.5

برای به دست آوردن توابعی که ارائه کننده رفتار این ضرایب بر حسب طول نسبی ترک باشند، توابعی بر حسب a/t بر روی آنها جاسازی شده است. مقدار خطای ناشی از جاسازی کردن توابع ذکر شده بر روی نتایج موجود حداقل ۲٪ است.

$$0 < a/t < 0.3$$

$$E = 0.5241 + 0.0064(a/t)^{-0.5}$$

$$F = 0.8185 - 0.0035(a/t)^{-0.5}$$

$$G = 0.0433 + 5.0741 \times 10^{-5}(a/t)^{-0.5}$$

$$0.3 < a/t < 0.8$$

$$E = 3.81 + 8.73(a/t)^{2.45}$$

$$F = 6.84 + 3.63(a/t)^{1.72}$$

$$G = 1.94 - 1.64(a/t)^{2.64}$$

$$K_{fr}^2 = I^6 E \int \frac{\partial}{\partial a} \left[c_1 \left(\frac{a}{t} \right) a^{0.5} (a-x)^{0.5} + c_2 \left(\frac{a}{t} \right) a^{-0.5} (a-x)^{1.5} \right] dx \quad (V)$$

با استفاده از معادله (V)، و قرار دهی توابع جابجایی به دست آمده در هر نسبت طول ترک می‌توان مقدار ضریب شدت تنش K_{fr} را به دست آورد. با قراردهی توابع جابجایی به دست آمده، مقدار ضرایب شدت تنش K_{fr} مربوط به هر طول نسبی ترک به صورت مقادیر ارائه شده در جدول (۲) به دست خواهد آمد:

جدول (۲): ضرایب شدت تنش در بارگذاری مرجع در نسبت طول ترکهای مختلف

a/t %	$K_{fr}(Pa.m^{0.5})$
0.15	21239
0.25	27499
0.5	38787
0.75	47459
1	54754
2	77214
4	1.09×10^5
6	1.33×10^5
8	1.54×10^5
10	1.73×10^5
15	2.17×10^5
20	2.57×10^5
30	3.38×10^5
40	4.25×10^5
50	5.23×10^5
60	6.36×10^5
70	7.65×10^5
80	9.15×10^5

۵- تعیین تابع وزنی

مقدار ضریب شدت تنش به دست آمده با حل انتگرال معادله (V) به صورت تابعی بر حسب طول ترک a خواهد بود که به صورت فرم کلی $K_{fr} = f(a)$ قابل نمایش است. با قراردهی فرم کلی ضریب شدت تنش و تابع جابجایی معادله (۵) در معادله (۱) تابع وزنی حاصل به فرم کلی ارائه شده در معادله (۶) قابل بیان است.

$$h\left(\frac{a}{t}\right).a^{0.5} = E\left(1 - \frac{x}{a}\right)^{0.5} + F\left(1 - \frac{x}{a}\right)^{1.5} + G\left(1 - \frac{x}{a}\right)^{-0.5} \quad (A)$$

ضرایب E، F و G با قراردهی توابع جابجایی و ضریب شدت تنش حاصل از بارگذاری مرجع در هر کدام از طول ترکهای نسبی عنوان شده در معادله (۱) قابل به دست آوردن است. در جدول (۳) مقادیر E، F و G به دست آمده برای هر

بررسی نمودار شکل (۳) بیانگر این موضوع است که حداقل خطا در محدوده ارائه شده در حدود ۲۵٪ است که در ضریب شدت تنش ترکهایی با طول نسبی ۰،۱٪ رخ می‌دهد، مقدار خطای ذکر شده با افزایش طول نسبی ترک کاهش می‌یابد و مقدار آن با افزایش طول ترک به زیر ۱٪ کاهش پیدا می‌کند.

با استفاده از توابع ضرایب ارائه شده در بالا و جاگذاری آنها در معادله (۹) و همچنین داشتن تابع میدان تنش در میان جداره مخزن با استفاده از انتگرال گیری معادله (۲) می‌توان ضریب شدت تنش مربوط به هر طول ترک a را به دست آورد.

۷- تخمین عمر خستگی

با توجه به معادله (۲)، با داشتن خواص ماده c و n و تغییرات ضریب شدت تنش در طول ترکهای مختلف می‌توان عمر خستگی قطعه را محاسبه کرد. با استفاده از انتگرال ارائه شده در معادله (۱۰) می‌توان عمر خستگی قطعه را به دست آورد:

$$N = \frac{a_f}{a_i} \frac{da}{c(\Delta k)^n} \quad (10)$$

طول ترکهای اولیه موجود در سطح و a_f طول نهایی ترک (ترک بحرانی) به طور معمول برابر با طول ترکی اختیار می‌شود که مقدار ضریب شدت تنش به مقدار ضریب شدت تنش بحرانی قطعه K_{IC} می‌رسد. به طور معمول فولاد مورد استفاده در ساخت مخازن استوانه‌ای جدار ضخیم، فولاد A732 می‌باشد. خواص این فولاد به صورت زیر است:

$$n = 3$$

$$c = 6.25 \times 10^{-12}$$

$$K_{IC} = 129 \text{ MPa}\sqrt{\text{m}}$$

$$S_y = 1100 \text{ MPa}$$

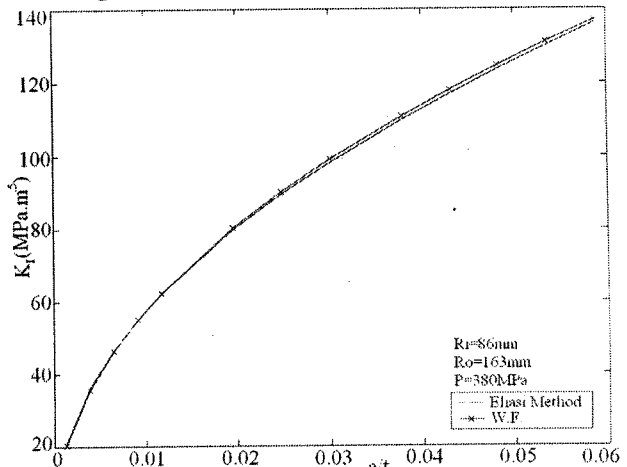
در حالت عنوان شده، با توجه به صفر بودن تنش در حالت عدم اعمال فشار داخلی ($K_{min} = 0$)، $\Delta K = K_{max}$ می‌شود. با استفاده از ضریب شدت تنش به دست آمده بر حسب طول ترک از معادلات (۷) و (۸) و قراردهی مقدار حاصل در معادله (۹) و استفاده از طول ترک اولیه $a_i = 0.2 \text{ mm}$ (به طور معمول طول ترکهای اولیه بین ۰.۱ mm تا ۰.۲ mm انتخاب می‌شوند) و طول ترک $a_f = 2.84 \text{ mm}$ (در این حالت $K_{max} = K_{IC}$) و فشار داخلی $P = 380 \text{ MPa}$ عمر خستگی به دست آمده ۱۸۴۵ سیکل کاری می‌باشد که در مقایسه با نتیجه به دست آمده [۹] Eliasی در همین شرایط هندسی و کاری؛ که ۱۸۷۲ سیکل است، کمتر از ۱/۵٪ خطا خواهد داشت. بررسی نتایج بیانگر این موضوع است که اکثر عمر خستگی قطعه صرف گسترش ترکهایی با طول کم می‌شود؛ بنابر این با ارائه تابع وزنی؛ که در محدوده ترکهای با طول نسبی کم دارای دقت بالایی باشد، می‌توان به تخمینی نسبتاً دقیق از عمر خستگی قطعه دست یافت.

۶- میدان تنش

با توجه به فرمول (۲) برای به دست آوردن ضریب شدت تنش ناشی از یک بارگذاری با استفاده از تابع وزنی به داشتن میدان تنش در محل ترک در عدم حضور ترک نیاز است. در صورتی که تنها میدان بارگذاری اعمالی ناشی از فشار داخلی باشد مقدار تنش استفاده شده در معادله (۲) به صورت زیر خواهد بود [۱۰]:

$$\sigma(x) = \frac{PR_0^2}{R_0^2 - R_i^2} \left(1 + \frac{(R_i + x)^2}{R_0^2} \right) + P \quad (9)$$

قسمت اول معادله بالا به تنش مماسی مربوط به فشار داخلی و قسمت دوم P به فشار وارد شده بر صفحات ترک مربوط می‌باشد. در نهایت، مقدار ضریب شدت تنش با قراردهی تابع وزنی حاصل معادله (۸) و تابع تنش (۹) می‌توان مقدار ضریب شدت تنش ناشی از هر فشار داخلی اعمالی را محاسبه کرد. نمودار ارائه شده در شکل (۴) مقدار ضرایب شدت تنش ناشی از فشار داخلی اعمالی را می‌نماید. Eliasی در محدوده مورد بررسی در این مقاله را نشان می‌دهد:



شکل (۴): مقدار ضرایب شدت تنش به دست آمده با تابع وزنی ارائه شده در مقایسه با نتایج Eliasی [۹] در حالت وجود ترک سرتاسری

با توجه به نمودار شکل (۳) دیده می‌شود که ترک در مخزن مورد بررسی در طول نسبی حدود ۵٪ ($K_{IC} = 129 \text{ MPa}\sqrt{\text{m}}$) به طول بحرانی خود خواهد رسید.

۸- نتیجه گیری

Kendall, D. P.; "A Simple Fracture Mechanics Based Method for Fatigue Life Prediction in Thick-Walled Cylinders." Transactions of ASME, Vol. 108, pp. 490-494, NOVEMBER 1986.

Ma, C.C.; Huang, J. I.; Tsai, C.H.; "weight function and stress intensity for axial crack in hollow cylinders," ASTM J. Pressure Vessel Technology, Vol. 116, pp 423-430, NOVEMBER 1994

Glinka, G.; Shen, G.; "Universal features of weight functions for cracks in mode I." Engineering Fracture Mechanics ,Volume 40, Pages 1135-1146, 1991.

Petroski, H.J.; Achenbach, J.D.; "Computation of the weight function from a stress intensity factor." Engineering Fracture Mechanics, Vol. 10 Pages 257-266, 1978;

Fett, T.; Mattheck, C.; Munz, D.; "Calculation of crack opening displacement from the stress intensity factor." Engineering Fracture Mechanics, Vol. 27, Page 697 -715 , 1987

Ojdrovic, RP.; Petroski, H.J.; "Weight functions from multiple reference states and crack profile derivatives." Engineering Fracture Mechanics, Vol. 39, Pages 105-111 , 1991

DE Matos, P.; Moreira, P.; Pasrama, S.; "The Precision of Crack Opening Values and the Computation of K Using the Weight Function Technique." Transactions of ASME, Vol. 108, Pages 490-494, NOVEMBER 1986.

Banks-Sills, L.; Eliasi, R.; "Fatigue life analysis of a cannon barrel." Eng. Failure Analysis. Vol. 6, Pages 371-385, 1999

Levy, C.; Perl, M.; Ma, Q.; "The Influence of Multiple Axial Erosions on the Fatigue Life of Autofrettaged Pressurized Cylinders." ASTM J. Pressure Vessel Technology, Vol. 123,Pages 293-297, AUGUST 2001.

Perl, M.; Arone, R.; "Stress Intensity Factors for a Radially Multicracked Partially Autofrettaged Pressurized Thick-Walled cylinder." ASTM J. Pressure Vessel Technology, VOI 110, Pages 147-153, MAY 1988.

- [۱] در این مقاله، روشی کلی برای به دست آوردن تابع وزنی مورد نیاز برای هر هندسه مخزن بر مبنای استفاده از فرم تابع جابجایی صفحات ترک در یک بارگذاری مرجع ارائه شده است.
- [۲] در ادامه، روش فوق برای به دست آوردن تابع وزنی در یک هندسه خاص مخزن با تعداد معینی ترک داخلی (دو ترک متقارن) استفاده شده است. مقایسه نتایج ضریب شدت تنفس حاصل از این روش با نتایج ارائه شده در مقاله [۹] Eliasi بیانگر دقت بالای این روش در به دست آوردن ضریب شدت تنفس است. در انتهای مقاله فوق، عمر خستگی مخزن ذکر شده با استفاده از ضریب شدت تنفس به دست آمده از تابع وزنی به دست آورده شده است. مقایسه نتیجه حاصل از این روش با مقداری که Eliasi ارائه کرده گویای دقت این روش در به دست آوردن عمر خستگی قطعه فوق است. روش ارائه شده در این مقاله یک روش کلی است که برای هر هندسه مخزن با هر تعداد ترک داخلی یا خارجی و هر طول نسبی ترک قابل اعمال می باشد. تابع ارائه شده در این مقاله، به یک هندسه مخزن مربوط است که با مدل سازی و به دست آوردن تابع وزنی در هندسه های متفاوت مخزن می توان به تابع وزنی کلی در هندسه های مختلف مخزن دست یافت.
- [۳]
- [۴]
- [۵]
- [۶]
- [۷]
- [۸]
- [۹]

۹- نمادها

مدول الاستیسیته	E
ضریب پواسون	ν
شعاع داخلی مخزن	R_i
شعاع خارجی مخزن	R_o
ضخامت مخزن	t
طول ترک در راستای شعاع مخزن	a
طول ترک اولیه	a_i
طول ترک نهایی	a_f
جابجایی در راستای عمود بر ترک (محور U)	U
جابجایی در راستای عمود بر ترک (محور U_{lr}) ناشی از بارگذاری مرجع	U_{lr}
ضریب شدت تنفس در مد I بارگذاری	K_I
ضریب شدت تنفس مد I در هنگام بارگذاری مرجع	K_{Ir}
حداقل ضریب شدت تنفس در یک دوره بارگذاری	K_{min}
حداکثر ضریب شدت تنفس در یک دوره بارگذاری	K_{max}
دامنه ضریب شدت تنفس در یک دوره بارگذاری	ΔK